FUI/EP 83/14193

BUNDEREPUBLIK DEUT CHLAND

EP03/14/193

Rec'd PCT/PTO 17 JUN 2005 10/539 61 3 RECEIVED 27 FEB 2004

WIPO PCT

Prioritätsbescheinigung über die Einreichung einer Patentanmeldung

Aktenzeichen:

102 60 028.7

Anmeldetag:

19. Dezember 2002

Anmelder/Inhaber:

BASF Aktiengesellschaft,

Ludwigshafen/DE

Bezeichnung:

Verfahren zur Entfernung von Schwefelverbindungen

aus kohlenwasserstoffhaltigen Gasen

IPC:

B 01 D, B 01 J, C 10 L

Die angehefteten Stücke sind eine richtige und genaue Wiedergabe der ursprünglichen Unterlagen dieser Patentanmeldung.

München, den 11. September 2003

Deutsches Patent- und Markenamt

Der Präsident

Im Auftrag

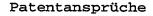
Stansonr:

PRIORITY DOCUMENT

SUBMITTED OR TRANSMITTED IN COMPLIANCE WITH RULE 17.1(a) OR (b)

179)

A 9161 06/00 EDV-L



- 1. Verfahren zur Entfernung von Schwefelverbindungen aus kohlenwasserstoffhaltigen Gasen, dadurch gekennzeichnet, dass man kupferhaltige Katalysatoren bei Temperaturen von (-50) bis 150°C und einem Druck von 0,1 bis 10 bar einsetzt.
- 2. Verfahren zur Entfernung von Schwefelverbindungen aus kohlenwasserstoffhaltigen Gasen nach Anspruch 1, dadurch gekennzeichnet, dass man bei Temperaturen von 0 bis 50°C und einem Druck von 0,8 bis 1,5 bar arbeitet.
- 3. Verfahren zur Entfernung von Schwefelverbindungen aus kohlenwasserstoffhaltigen Gasen nach Anspruch 1, dadurch gekennzeichnet, dass die kupferhaltigen Katalysatoren 30 bis 99,8 Gew.-% Kupferoxid und 0,2 bis 70 Gew.-% Oxide aus der Gruppe IIB, IIIB, IVB, VIB, VIII, IIIA, und IVA des Periodensystems der Elemente, die mindestens bis 250°C Feststoffe sind, enthalten.
- Verfahren zur Entfernung von Schwefelverbindungen aus kohlenwasserstoffhaltigen Gasen nach Anspruch 1, dadurch gekennzeichnet, dass die kupferhaltigen Katalysatoren aus 30 bis 99,8 Gew.-% Kupferoxid und 0,2 bis 70 Gew.-% Oxide aus der Gruppe IIB, IIIB, IVB, VIB, VIII, IIIA, und IVA des Periodensystems der Elemente, die mindestens bis 250°C Feststoffe sind, bestehen.
- 5. Verwendung des Verfahrens nach einem der Ansprüche 1, 2, 3 oder 4 zur Erzeugung von schwefelfreien kohlenwasserstoffhaltigen Gasen zur Herstellung von Wasserstoff.
- 6. Verwendung des Verfahrens nach einem der Ansprüche 1, 2, 3 oder 4 zur Erzeugung von schwefelfreien kohlenwasserstoffhaltigen Gasen zur Herstellung von Wasserstoff zum Betrieb einer Brennstoffzelle.
- 7. Kupferhaltige Katalysatoren, die 30 bis 99,8 Gew.-% Kupferoxid und 0,2 bis 70 Gew.-% Oxide aus der Gruppe IIB, IIIB, IVB, VIB, VIII, IIIA, und IVA des Periodensystems der Elemente, die mindestens bis 250°C Feststoffe sind, enthalten.



8. Kupferhaltige Katalysatoren, die aus 30 bis 99,8 Gew.-% Kupferoxid und 0,2 bis 70 Gew.-% Oxide aus der Gruppe IIB, IIIB, IVB, VIB, VIII, IIIA, und IVA des Periodensystems der Elemente, die mindestens bis 250°C Feststoffe sind, bestehen.

9. Kupferhaltige Katalysatoren nach einem der Ansprüche 7 oder 8 für die Anwendung in einem Brennstoffzellensystem.

10. Verwendung der kupferhaltigen Katalysatoren zur Entfernung10 von Schwefelverbindungen aus kohlenwasserstoffhaltigen Gasen.

Verfahren zur Entfernung von Schwefelverbindungen aus kohlenwasserstoffhaltigen Gasen

5 Beschreibung

Die vorliegende Erfindung betrifft Verfahren zur Entfernung von Schwefelverbindungen aus kohlenwasserstoffhaltigen Gasen an kupferhaltigen Katalysatoren.

10

Kohlenwasserstoffhaltige Gase - wie z.B. Erdgas - enthalten in der Regel Schwefelverbindungen oder müssen aus Sicherheitsgründen mit übelriechenden Schwefelverbindungen versetzt werden. Großtechnisch wird Erdgas z.B. hydrierend entschwefelt. Dies ist jedoch nicht für jede Anwendung möglich.

Aus der EP-A-1 121 922 ist die adsorptive Entfernung von schwefelhaltigen, organischen Komponenten wie Sulfiden, Mercaptanen und Thiophenen aus Erdgas mit Hilfe silber-dotierter Zeolithe bei 20 Raumtemperatur bekannt. Nachteilig ist der hohe Silbergehalt.

Aus BWK 54 (2002) Nr. 9 Seiten 62 bis 68 ist bekannt, dass bislang eine einfache Lösung für die Entfernung sämtlicher Schwefelkomponenten aus Erdgas, die für die Anwendung im Brennstoffzel-25 lenbereich störend sind, fehlt.

Der vorliegenden Erfindung lag daher die Aufgabe zugrunde, den zuvor genannten Nachteilen abzuhelfen und insbesondere den Einsatz von mit Schwefelverbindungen verunreinigten kohlenwasser-30 stoffhaltigen Gasen für Brennstoffzellen zu ermöglichen.

Demgemäß wurde ein neues und verbessertes Verfahren zur Entfernung von Schwefelverbindungen aus kohlenwasserstoffhaltigen Gasen gefunden, welches dadurch gekennzeichnet ist, daß man kupferhaltige Katalysatoren bei Temperaturen von (-50) bis 150°C und einem Druck von 0,1 bis 10 bar einsetzt.

Das Verfahren kann wie folgt durchgeführt werden:

- 40 Das durch Schwefelverbindungen verunreinigte kohlenwasserstoffhaltige Gas kann bei einer Temperatur von (-50) bis + 150°C,
 bevorzugt (-20) bis 80°C, besonders bevorzugt 0 bis 50°C, insbesondere 15 bis 40°C, ganz besonders bevorzugt bei Raumtemperatur
 und einem Druck von 0,1 bis 10 bar, bevorzugt 0,5 bis 5 bar,
- 45 besonders bevorzugt 0,8 bis 1,5 bar, insbesondere bei Normaldruck

2

über einen erfindungsmäßigen kupferhaltigen Katalysator geleitet werden.

Als mit Schwefelverbindungen verunreinigte kohlenwasserstoff-5 haltige Gase eignen sich beispielsweise Erdgas, Stadtgas und Flüssiggas (LPG), bevorzugt Erdgas und Stadtgas, besonders bevorzugt Erdgas.

Die verunreinigenden Schwefelverbindungen sind in der Regel COS, 10 H₂S, CS₂ sowie Mercaptane und Disulfide und aus sicherheitstechnischen Gründen kommerziell zugesetzte übelriechende Schwefelverbindungen wie Tetrahydrothiophen, Ethylmercaptan, n-Butylmercaptan, t-Butylmercaptan oder deren Gemische.

15 Als kupferhaltige Katalysatoren eignen sich solche Katalysatoren, die 30 bis 99,8 Gew.-%, bevorzugt 40 bis 85 Gew.-%, besonders bevorzugt 50 bis 75 Gew.-% Kupferoxid und 0,2 bis 70 Gew.-%, bevorzugt 15 bis 60 Gew.-%, besonders bevorzugt 25 bis 50 Gew.-% Oxide aus der Gruppe IIB, IIIB, IVB, VIB, VIII, IIIA, und IVA des

20 Periodensystems der Elemente, die mindestens bis 250°C Feststoffe sind, wie Zink, Scandium, Yttrium, Lanthan, Titan, Zirkon, Chrom, Molybdän, Wolfram, Eisen, Cobalt, Nickel, Bor, Aluminium, Gallium, Silicium, Germanium und Zinn, bevorzugt Zink, Lanthan, Titan, Zirkon, Chrom, Molybdän, Eisen, Cobalt, Nickel, Aluminium

25 und Silicium, besonders bevorzugt Zink, Lanthan, Titan, Zirkon, Nickel, Aluminium und Silicium enthalten, bevorzugt daraus bestehen. Das Kupfer kann in diesen "kupferhaltigen Katalysatoren" in jeder Oxidationsstufe, z.B. in der Oxidationsstufe +1 oder +2 oder elementar (Oxidationsstufe = 0) oder deren Gemische, bevor-

30 zugt in der Oxidationsstufe +2 oder elementar oder deren Gemische, besonders bevorzugt in der Oxidationsstufe +2, eingesetzt werden.

Die kupferhaltigen Katalysatoren können nach allgemein bekannten 35 Verfahren hergestellt werden, wie beispielsweise durch Fällung, Tränkung, Mischen, Sintern, Sprühen, Sprühtrocknen, Ionenaustausch oder stromlose Abscheidung, bevorzugt durch Fällung, Tränkung, Mischen, Sintern oder Sprühtrocknen, besonders bevorzugt durch Fällung oder Tränkung, insbesonders durch Fällung.

Die durch Fällung in der Regel erhaltenen Pulver kupferhaltiger Katalysatoren können nach der Fällung und die durch Tränkung hergestellten kupferhaltiger Katalysatoren können vor oder nach der Tränkung, ggf. mit Porenbildnern, wie Cellulose, Glycerin, Harnstoff, Ammoniumcarbonat, Ammoniumnitrat, Melamin, Kohlefasern oder deren Gemische, versetzt und mit This der Porentsche verse

oder deren Gemische, versetzt und mit üblichen Hilfsmitteln, wie Bindemitteln, beispielsweise Ameisensäure, Polyvinylpyrolidon

(PVP), Polykieselsäure oder deren Gemische und ggf. Schmiermitteln wie Graphit, Stearinsäure, Molybdänsulfid oder deren Gemische tablettiert, verstangt oder in jede beliebige Form gebracht und ggf. anschließend zu Splitt verarbeitet werden.

Das Kupfer in den kupferhaltigen Katalysatoren kann vor oder nach der Formgebung bei Temperaturen von 150 bis 250°C, beispielsweise in Gegenwart von Wasserstoff, Kohlenmonoxid, Distickstoffmonoxid oder deren Gemische, oder allgemein in reduzierender Gasatmosphäre teilweise oder vollständig zu metallischem Kupfer reduziert

10 häre teilweise oder vollständig zu metallischem Kupfer reduziert werden.

Im Zusammenhang mit einem Brennstoffzellensystem kann das erfindungsgemäße Verfahren in der Regel vorgeschaltet werden, d.h. das nach der erfindungsgemäßen Reinigung des kohlenwasserstoffhaltigen Gases, dieses zur Gewinnung von Wasserstoff verwendet werden kann, das die Brennstoffzelle speist. Dabei eignet sich das erfindungsgemäße Verfahren in der Regel für alle bekannten Typen von Brennstoffzellen wie PEM-Brennstoffzellen, DMFC-Brennstoffzellen (Schmelzcarbonat) und Hochtemperaturbrennstoffzellen (GOFC).

Bei der Anwendung des erfindungsgemäßen Verfahrens im Zusammenhang mit einer Brennstoffzelle ist es vorteilhaft, den verbrauchten Katalysator nicht direkt im System zu regenerieren, sondern auszutauschen und nach dem Ausbau zu gesondert regenerieren. Dies gilt insbesondere für Brennstoffzellen mit geringer Leistung.

Das erfindungsgemäße Verfahren eignet sich für die Anwendung im stationären Bereich, beispielsweise bei Brennstoffzellensysteme für die simultane Erzeugung von Strom und Wärme (wie Blockheizkraftwerke), bevorzugt bei der Hausenergieversorgung und mobilen Bereich, beispielsweise bei Kraftfahrzeugen als Hilfsaggregate bei Lastkraftwagen, Eisenbahnen und Personenwagen, bevorzugt bei Personenwagen und Lastkraftwagen, besonders bevorzugt Personenwagen.

Beispiele

Herstellung von Katalysatoren

5 Beispiel 1

Herstellung eines Cu-Zn-Al-Katalysators der Zusammensetzung 52,5 Gew.-% CuO; 30 Gew.-% ZnO und 17,5 Gew.-% Al_2O_3

Eine Mischung aus einer salpetersauren Lösung von 420 g Kupfer
10 (II) oxid, einer salpetersauren Lösung von 240 g Zinkoxid und
einer salpetersauren Lösung von 140 g Aluminiumnitrat-nonahydrat
wurde mit einer Lösung von 474 g Natriumcarbonat in 2 Liter
demineralisiertem Wasser in eine auf 50°C gehaltene Wasservorlage
bei einem pH-Wert von ca. 6 gefällt und 3 h nachgerührt. Die Fäl
15 lung wurde abgetrennt, mit Wasser Natrium- und Nitrationen ausgewaschen, bei 120°C getrocknet und 1 h bei 400°C calziniert. Man
erhielt 272 g des Mischoxides, das unter Zusatz von 1 Gew.-%
Grafit zu Tabletten mit 20 mm verdichtet, mechanisch durch ein
Sieb < 1,6 mm gedrückt, erneut mit 2 Gew.-% Grafit versetzt und

20 zu Tabletten der Dimension 5 x 3 mm (Durchmesser x Höhe) verpresst wurde.

Die Seitendruckfestigkeit der Tabletten betrug 66 N.

25 Beispiel 2

Herstellung eines Cu-Zn-Al-Katalysators der Zusammensetzung 40 Gew.-% CuO; 40 Gew.-% ZnO und 20 Gew.-% Al $_2$ O $_3$

Analog Beispiel 1 wurde eine Mischung aus einer salpetersauren

30 Lösung von 120 g Kupfer(II)oxid, einer salpetersauren Lösung von
120 g Zinkoxid und 60g dispergiertem Aluminiumoxid (Pural® SFC
der Firma SASOL) mit einer Lösung von 474 g Natriumcarbonat in
2 Liter demineralisiertem Wasser bei einem pH-Wert von ca. 6,5
gefällt und aufgearbeitet. Die Calzinierung erfolgte 2 h bei

35 300°C. Man erhielt 235 g des Mischoxides, das analog Beispiel 1 zu
Tabletten mit einer Seitendruckfestigkeit von 71 N verarbeitet

Beispiel 3

wurde.

40 Herstellung eines Cu-Zn-Zr-Katalysators der Zusammensetzung 73,9 Gew.-% CuO; 21,1 Gew.-% ZnO und 5 Gew.-% ZrO₂

Analog Beispiel 1 wurde eine Mischung aus einer salpetersauren Lösung von 370 g Kupfer(II)oxid, einer salpetersauren Lösung von 45 105,5 g Zinkoxid und einer salpetersauren Lösung von 25 g Zirkoncarbonat mit einer Lösung von 474 g Natriumcarbonat in 2 Liter demineralisiertem Wasser bei einer Fälltemperatur von 70°C und

einem pH-Wert von ca. 6,5 gefällt und aufgearbeitet. Die Calzinierung erfolgte 4 h bei 300°C. Man erhielt 540 g des Mischoxides, das analog Beispiel 1 zu Tabletten mit einer Seitendruckfestigkeit von 66 N verarbeitet wurde.

5

Beispiel 4

Herstellung eines Cu-Zn-Al-Zr-Katalysators der Zusammensetzung 50 Gew.-% CuO; 30 Gew.-% ZnO und 17,5 Gew.-% Al $_2$ O $_3$ und 2,5 Gew.-% ZrO $_2$

10

Analog Beispiel 1 wurde eine Mischung aus einer salpetersauren Lösung von 150 g Kupfer(II)oxid, einer salpetersauren Lösung von 386,3 g Aluminium90 g Zinkoxid, einer salpetersauren Lösung von 386,3 g Aluminiumnitrat-Nonahydrat und einer salpetersauren Lösung von 7,5 g Zir15 concarbonat, die mit Natriumcarbonat auf einen pH-Wert von ca.
2,5 eingestellt wurde, mit einer Mischung aus 2 molarer Natronlauge und 0,3 molarer Natriumcarbonatlösung bei Raumtemperatur
und einem pH-Wert von ca. 8 gefällt, 2 h auf 50°C gehalten und
aufgearbeitet. Die Calzinierung erfolgte 4 h bei 600°C. Man er20 hielt 300 g des Mischoxides, das analog Beispiel 1 zu Tabletten
mit einer Seitendruckfestigkeit von 101 N verarbeitet wurde.

Beispiel 5

Herstellung eines Cu-Zn-Al-Zr-Katalysators der Zusammensetzung 25 60 Gew.-% CuO; 20 Gew.-% ZnO, 17,5 Gew.-% Al₂O₃ und 2,5 Gew.-% ZrO₂

Dieser Katalysator wurde analog Beispiel 4 hergestellt. Die Druckfestigkeit der Tabletten betrug 100 N.

30

Beispiel 6

Herstellung eines Cu-Zn-Al-Katalysators der Zusammensetzung 67 Gew.-% CuO, 26,4 Gew.-% ZnO und 6,6 Gew.-% Al $_2$ O $_3$

35 Eine Lösung von 320 g Zn(NO₃)₂•6 H₂O und 336,4 g Al(NO₃)₃•9 H₂O in 600 ml Wasser und 2000 ml einer 20 gew.-%ige Sodalösung wurden so zusammengeführt, daß die Fällung unter Rühren bei einer Temperatur von 50°C und einem pH-Wert von 6,7 bis 6,9 erfolgte, 30 Minuten nachgerührt, filtriert, anschließend Natrium- und Nitratfrei gewaschen, 12 h bei 120°C getrocknet und 2 h bei 350°C kalziniert.

Das zuvor erhaltene kalzinierte ZnAl-Mischoxid wurde in einer salpatersauren Lösung von Kupfernitrat und Zinknitrat so gelöst, dass man ein Gesamt-Atomverhältnis von Cu:Zn:Al = 65:25:10 er-

45 hielt und mit 2000 ml einer 20 gew.-%ige Sodalösung analog der oben beschriebenen Fällprozedur bei 70°C und einem pH-Wert von ca. 6,8 vereinigt, 60 Minuten nachgerührt, filtriert, anschließend

Natrium- und Nitratfrei gewaschen, 16 h bei 120°C getrocknet und 4 h bei 300°C kalziniert.

Man erhielt 320 g des Mischoxides, das analog Beispiel 1 zu 5 Tabletten mit einer Druckfestigkeit von 80 N verarbeitet wurde. Die BET-Oberfläche betrug 85 m²/g und das Porenvolumen betrug 0,29 ml/g (Hg-Porosimetrie).

Beispiel 7

10 Herstellung eines Katalysators der Zusammensetzung 65 Gew.-% CuO; 20 Gew.-% ZnO; 6 Gew.-% Al₂O₃; 6 Gew.-% ZrO₂ und 3 Gew.-% La₂O₃

Die Herstellung erfolgte analog Beispiel 2 mit einer salpetersauren Lösung von 215 g CuO, 66 g ZnO, 145 g Al(NO₃)₃•9 H₂O, 20 g ZrO₂

15 und 10 g La₂O₃, jedoch wurde bei einer Temperatur von 70°C gefällt. Man erhielt 320 g der Missk ist

fällt. Man erhielt 330 g des Mischoxides, das analog Beispiel 1 zu Tabletten mit einer Seitendruckfestigkeit von 80 N verarbeitet wurde. Die BET-Oberfläche betrug 109 m²/g.

20 Beispiel 8

Herstellung eines Katalysators der Zusammensetzung 60 Gew.-% CuO; 20 Gew.-% ZnO; 10 Gew.-% Al₂O₃; 5 Gew.-% ZrO₂ und 5 Gew.-% MgO

Die Herstellung erfolgte analog Beispiel 2 mit einer salpetersau25 ren Lösung von 231 g CuO, 77 g ZnO, 290 g Al(NO₃)₃•9 H₂O, 19,2 g
ZrO₂ und 19,5 g MgO, jedoch wurde bei einer Temperatur von 70°C
gefällt. Man erhielt 350 g des Mischoxides, das analog Beispiel 1
zu Tabletten mit einer Seitendruckfestigkeit von 90 N verarbeitet
wurde. Die BET-Oberfläche betrug 96 m²/g.

30

Beispiel 9

Herstellung eines Katalysators der Zusammensetzung 60 Gew.-% CuO; 20 Gew.-% ZnO; 10 Gew.-% Al₂O₃; 5 Gew.-% ZrO₂ und 5 Gew.-% NiO

35

Die Herstellung erfolgte analog Beispiel 2 mit einer salpetersauren Lösung von 264 g CuO, 88 g ZnO, 323 g Al(NO_3) $_3$ •9 H_2O , 22 g ZrO $_2$ und 22 g NiO, jedoch wurde bei einer Temperatur von 70°C gefällt. Man erhielt 400 g des Mischoxides, das analog Beispiel 1 zu

40 Tabletten mit einer Seitendruckfestigkeit von 80 N verarbeitet wurde. Die BET-Oberfläche betrug 114 m²/g.

Beispiel 10

Herstellung eines Katalysators der Zusammensetzung

45 60 Gew.-% CuO; 20 Gew.-% ZnO; 10 Gew.-% Al₂O₃; 5 Gew.-% ZrO₂ und 5 Gew.-% SiO₂

Die Herstellung erfolgte analog Beispiel 2 mit einer salpetersauren Lösung von 200 g CuO, 66 g ZnO, 241 g Al (NO₃)₃•9 H₂O, 16,5 g ZrO₂ und 16,5 g SiO₂ (kolloidal; Ludox[™]; 50 Gew.-% in Wasser), jedoch wurde bei einer Temperatur von 70°C gefällt. Man erhielt 300 g des Mischoxides, das analog Beispiel 1 zu Tabletten mit einer Seitendruckfestigkeit von 90 N verarbeitet wurde. Die BET-Oberfläche betrug 125 m²/g.

Beispiel 11

- 10 Herstellung eines Tränkkatalysators der Zusammensetzung: 14,6 Gew.-% CuO, 7,4 Gew.-% ZnO und 78 Gew.-% Al_2O_3
- 1,77 kg Aluminiumoxid-Stränge mit einem Durchmesser von 4 mm und
 einer Wasseraufnahme von 0,557 ml/g wurden aus überstehender
 15 wässriger Lösung aus 343 g Kupfernitrat/Liter und 156 g Zinknitrat/Liter getränkt, bei 120°C getrocknet und 3 h bei 520°C
 calziniert. Der Tränkvorgang inklusive Trocknung und Calzinierung
 wurde wiederholt.
- 20 Man erhielt 2100 g des Tränkkatalystors mit einem Litergewicht von 844 g/Liter, einer Wasseraufnahme von 0,44 ml/g und einer Schnitthärte von 266 N.

Beispiel 12

- 25 Herstellung eines Tränkkatalysators der Zusammensetzung: 71,15 Gew.-% Al_2O_3 , 18 Gew.-% MoO_3 , 7,5 Gew.-% CuO und 3,35 Gew.-% BaO
- 294 g Aluminiumoxid-Stänge in Form von 3 mm Triloben wurden vor30 gelegt, mit 89 g Ammonimumheptamolybdat in 224 ml Wasser
 (81 gew.-%ig) getränkt, bei 120°C getrocknet und anschließend bei
 370°C 75 Minuten und 400°C 135 Minuten calziniert.
- Danach wurde mit 155 ml einer 19 gew.-%igen Kupfernitratlösung 35 getränkt und anschließend wie zuvor getrocknet und calziniert.

Zuletzt wurde mit 260 ml einer 230 g enthaltenden Bariumnitratlösung getränkt und anschließend erneut wie zuvor getrocknet und calziniert.

40

Man erhielt 405 g des Tränkkatalystors mit einem Rüttelgewicht von 750 g/Liter, einer Wasseraufnahme von 0.5 ml/g und einer Schneidhärte von 9.5 N.

Anwendungsbeispiele der Katalysatoren

Ein beheizbarer Rohrreaktor mit einem Durchmesser von 10 mm wurde jeweils mit 10 g einer der zuvor beschriebenen Katalysatoren in 5 Splittform (1 bis 2 mm) befüllt und im geraden Durchgang betrieben. Das Austrittsgas wurde einem Gaschromatographen zugeführt. Für den Nachweis von organische Kohlenstoffverbindungen durch einen Flamm-Ionisations-Detektor und zur selektiven Schwefel-Detektion durch einen Flamm-Photometrischen-Detektor.

10

Nach Beendigung des Versuchs, d.h. nach Durchbruch der Schwefelkomponente, wurde der Katalysator ausgebaut und mittels Standard-Verfahren (z.B. nach Ehrenberger; "Quantitative Organische Elementaranalyse", VCH Verlagsgesellschaft, Weinheim, 1991, Seite 15 242 ff.) der Gehalt an Schwefel bestimmt.

Anwendungsbeispiel 1

Die Katalysatoren der Beispiele 1 bis 15 wurden einem Methanstrom 20 ausgesetzt, der 1.000 ppm COS enthielt. Die Gasbelastung, also das Volumen an Gas je Volumen an Katalysator betrug 1000 h⁻¹, die Reaktionstemperatur 25°C. Der Versuch wurde abgebrochen, sobald im Austrittsgas die Menge an COS 1 ppm überschritt.

25 In Tabelle A sind die Ergebnisse des Schwefelgehaltes der daraufhin ausgebaute Katalysatoren zusammengefaßt.

Anwendungsbeispiel 2

30 Die Katalysatoren der Beispiele 1 bis 15 wurden einem Methanstrom ausgesetzt, der 1000 ppm $\rm H_2S$ enthielt. Die Gasbelastung, also das Volumen an Gas je Volumen an Katalysator betrug 1000 h⁻¹, die Reaktionstemperatur 25°C. Der Versuch wurde abgebrochen, sobald im Austrittsgas die Menge an $\rm H_2S$ 1 ppm überschritt.

35

In Tabelle A sind die Ergebnisse des Schwefelgehaltes der daraufhin ausgebaute Katalysatoren zusammengefaßt.

Anwendungsbeispiel 3

40

Die Katalysatoren der Beispiele 1 bis 15 wurden einem Methanstrom ausgesetzt, der 500 ppm H₂S und 500 ppm COS enthielt. Die Gasbelastung, also das Volumen an Gas je Volumen an Katalysator betrug 1000 h⁻¹, die Reaktionstemperatur 25°C. Der Versuch wurde abgebrochen, sobald im Austrittsgas die Menge an H₂S und COS zusammen 1 ppm überschritt.



In Tabelle A sind die Ergebnisse des Schwefelgehaltes der daraufhin ausgebaute Katalysatoren zusammengefaßt.

Anwendungsbeispiel 4

5

Die Katalysatoren der Beispiele 1 bis 15 wurden einem Gasstrom, besteht aus 60 Vol.-% Methan und 40 % Propan, ausgesetzt, der 500 ppm H₂S und 500 ppm COS und zusätzlich 2.000 ppm Toluol enthielt. Die Gasbelastung, also das Volumen an Gas je Volumen an Katalysator betrug 1000 h⁻¹, die Reaktionstemperatur 25°C. Der Versuch wurde abgebrochen, sobald im Austrittsgas die Menge an H₂S und COS zusammen 1 ppm überschritt.

In Tabelle A sind die Ergebnisse des Schwefelgehaltes der darauf-15 hin ausgebaute Katalysatoren zusammengefaßt.

Aus Tabelle A geht hervor, dass COS und $\rm H_2S$ unabhängig von der Anwesenheit höherer Kohlenwasserstoffe weiterhin vollständig am Katalysator adsorbiert wurde. Eine Adsorption der höheren Kohlen- 20 wasserstoffe (wie Toluol) am Katalysator wurde nicht beobachtet.

Tabelle A

	Katalysator	Schwefelgehalt [Gew%]				
25		Anwendungs- beispiel 1	Anwendungs- beispiel 2	Anwendungs- beispiel 3	Anwendungs- beispiel 4	
	Beispiel 1	8,8	8,6	8,8	8,9	
30	Beispiel 2	7,0	6,7	6,8	6,9	
	Beispiel 3	12,3	12,0	12,1	12,0	
	Beispiel 4	8,5	8,0	8,1	8,0	
	Beispiel 5	9,5	9,2	9,4	9,4	
	Beispiel 6	11,2	11,0	11,0	10,9	
35	Beispiel 7	11,2	11,0	11,2	11,2	
	Beispiel 8	10,5	10,2	10,5	10,4	
	Beispiel 9	10,4	10,1	10,2	10,3	
	Beispiel 10	10,9	10,2	10,1	10,0	
	Beispiel 11	2,5	2,1	2,3	2,25	
40	Beispiel 12	1,1	1,0	0,9	0,9	

Anwendungsbeispiel 5

Vor Versuchsbeginn wurde der Katalysator bei einer Temperaturen 45 von ca. 200°C und einem Gasstrom von ca. 1 Vol.-% Wasserstoff in Stickstoff reduziert.

Die so reduzierten Katalysatoren der Beispiele 1 bis 15 wurden einem Methanstrom ausgesetzt, der 15 Vol.-ppm Tetrahydrothiophen (THT) enthielt. Die Gasbelastung, also das Volumen an Gas je Volumen an Katalysator betrug 1000 h⁻¹, die Reaktionstemperatur 5 25°C. Der Versuch wurde abgebrochen, sobald im Austrittsgas die Menge an THT 1 ppm überschritt.

In Tabelle B sind die Ergebnisse der Adsorptionskapazität des Katalysators für THT bis zum Abbruch zusammengefaßt.

10

Anwendungsbeispiel 6

Die Versuche wurden analog Anwendungsbeispiel 5 durchgeführt, jedoch wurden die Katalysatoren vor Versuchsbeginn nicht redu15 ziert.

In Tabelle B sind die Ergebnisse der Adsorptionskapazität des Katalysators für THT bis zum Abbruch zusammengefaßt.

20 Aus Tabelle B geht hervor, dass die Adsorption geringer als in Anwendungsbeispiel 5 war, in dem die Katalysatoren in reduzierter Form eingesetzt wurden.

Anwendungsbeispiel 7

25

Zur Untersuchung einer optimierten Adsorberpatrone wird wie folgt vorgegangen: Statt Methan wird Erdgas eingesetzt. Dieses besitzt im Wesentlichen die nachfolgend genannte Zusammensetzung: 84 Vol.-% Methan, 3,5 Vol.-% Ethan, 0,6 Vol.-% Propan, 9,3 Vol.-% 30 Stickstoff, 1,6 Vol.-% Kohlendioxid und in Summe ca. 3.500 ppm höherer Kohlenwasserstoffe (C3 - C8).

Dem Erdgas werden folgende Bestandteile zugemischt: 20 ppm COS, 20 ppm H_2S und 15 ppm THT.

35

Der vorgelegte Katalysator wird jeweils zu 80 % vorreduziert, so dass ca. 80 % des Katalysatorbettes für die Aufnahme von THT optimiert sind, während der Rest für die Adsoprtion von COS und $\rm H_2S$ zur Verfügung steht.

40

Die Gasbelastung, also das Volumen an Gas je Volumen an Katalysator liegt erneut bei 1000 l / l*h-1; die Reaktionstemperatur bei 25°C. Der Versuch wird dann abgebrochen, wenn im Off-Gas nach Reaktor erstmalig THT mit > 1 ppm detektiert wird. Über den bis zu diesem Zeitpunkt über den Katalysator geleiteten Gasvolumenstrom wird die Adsorptionskapazität des Katalysators in g THT /



Liter Katalysator berechnet. In allen Fällen war zu diesem Zeitpunkt weder COS noch $\rm H_2S$ im Abgas des Reaktors detektierbar.

Die Katalysatoren der Beispiele 1 bis 15 wurden einem Methanstrom 5 ausgesetzt, der 1.000 ppm COS enthielt. Die Gasbelastung, also das Volumen an Gas je Volumen an Katalysator betrug 1000 h⁻¹, die Reaktionstemperatur 25°C. Der Versuch wurde abgebrochen, sobald im Austrittsgas die Menge an COS 5 ppm überschritt.

10 In Tabelle B sind die Ergebnisse der Adsorptionskapazitäten für schwefelhaltige Komponenten zusammengefaßt.

Tabelle B

15	Katalysator	THT-Adsorptionskapazität [g THT pro Liter Katalysator]				
		Anwendungs- beispiel 5	Anwendungs- beispiel 6	Anwendungs- beispiel 7		
20	Beispiel 1	3,2	1,5	2,5		
	Beispiel 2	2,5	1,1	2,0		
	Beispiel 3	4,6	2,2	3,5		
	Beispiel 4	3,1	1,6	2,5		
25	Beispiel 5	3,6	1,8	2,8		
	Beispiel 6	4,1	1,9	3,2		
	Beispiel 7	- 3,8	1,8	3,0		
	Beispiel 8	3,6	1,8	2,8		
30	Beispiel 9	3,7	2,0	2,95		
	Beispiel 10	3,5	1,6	2,8		
	Beispiel 11	0,9	0,4	0,7		
	Beispiel 12	0,3	0,1	0,2		

Vergleichsbeispiele

Vergleichsbeispiel 1

Analog Anwendungsbeispiel 6 wurde kommerzielle Cu-dotierte Aktiv-kohle (G 32-J der Firma Süd-Chemie; mit 4,5 Gew.-% Cu; 0,25 ml/g

Porenvolumen und 1000 m²/g Oberfläche) als 1-2 mm Splitt untersucht.

Die THT-Adsorptionskapazität dieser Aktivkohle betrug 0,9 g THT pro Liter Aktivkohle.

Vergleichsbeispiel 2

Analog Anwendungsbeispiel 6 wurde kommerzielle Aktivkohle (C38/4, Artikel 2722 der Firma CarboTech, Essen) untersucht.

Die THT-Adsorptionskapazität dieser Aktivkohle betrug 6,5 g THT pro Liter Aktivkohle.

Vergleichsbeispiel 3

10

5

Analog Anwendungsbeispiel 6 wurde kommerzielle Aktivkohle (Norit RB4 der Firma Norit; mit 0,13 ml/g Porenvolumen; 1292 m 2 /g Oberfläche) als 1-2 mm Splitt untersucht.

15 Die THT-Adsorptionskapazität dieser Aktivkohle betrug 0,5 g THT pro Liter Aktivkohle.

Vergleichsbeispiel 4

20 Analog Anwendungsbeispiel 6 wurde kommerzielle Aktivkohle (Desorex K der Firma Lurgi; mit 0,55 ml/g Porenvolumen; 1494 m²/g Oberfläche) als 1-2 mm Splitt untersucht.

Die THT-Adsorptionskapazität dieser Aktivkohle betrug 0,6 g THT 25 pro Liter Aktivkohle.

Vergleichsbeispiel 5

Analog Anwendungsbeispiel 1 wurde kommerzielle Cu-dotierte Aktiv-30 kohle (G 32-J der Firma Süd-Chemie; mit 4,5 Gew.-% Cu; 0,25 ml/g Porenvolumen und 1000 m²/g Oberfläche) als 1-2 mm Splitt untersucht.

Die COS-Adsorptionskapazität dieser Aktivkohle betrug 1,1 g COS 35 pro Liter Aktivkohle.

Vergleichsbeispiel 6

Analog Anwendungsbeispiel 1 wurde kommerzielle Aktivkohle 40 (Norit RB4 der Firma Norit; mit 0,13 ml/g Porenvolumen; 1292 m²/g Oberfläche) als 1-2 mm Splitt untersucht.

Die COS-Adsorptionskapazität dieser Aktivkohle betrug 0,6 g COS pro Liter Aktivkohle.

Vergleichsbeispiel 7

Analog Anwendungsbeispiel 1 wurde kommerzielle Aktivkohle (Desorex K der Firma Lurgi; mit 0,55 ml/g Porenvolumen; 1494 m²/g 5 Oberfläche) als 1-2 mm Splitt untersucht.

Die COS-Adsorptionskapazität dieser Aktivkohle betrug 0,55 g COS pro Liter Aktivkohle.

.

Verfahren zur Entfernung von Schwefelverbindungen aus kohlenwasserstoffhaltigen Gasen

5 Zusammenfassung

Die vorliegende Erfindung betrifft Verfahren zur Entfernung von Schwefelverbindungen aus kohlenwasserstoffhaltigen Gasen, indem man kupferhaltige Katalysatoren bei Temperaturen von (-50) bis 10 150°C und einem Druck von 0,1 bis 10 bar einsetzt.

15

20

25

30

35